

اثر جیبرلیک اسید بر سرعت واکنش هیل، رنگیزه‌های فتوستتزی و ترکیبات فنلی در گیاه دارویی بادرشبو (*Dracocephalum moldavica* L.) در شرایط تنش خشکی

حسین عباسپور و حلیمه رضایی*

دامغان، دانشگاه آزاد اسلامی واحد دامغان، گروه زیست‌شناسی

تاریخ دریافت: ۹۱/۶/۲۱ تاریخ پذیرش: ۹۲/۱۱/۱۳

چکیده

تنش خشکی باعث تحریک تولید گونه‌های اکسیژن فعال در کلروپلاست‌های گیاهی می‌شود و گونه‌های اکسیژن فعال نیز سبب پراکسیداسیون لیپیدهای غشایی و تخریب غشای سلولی می‌شوند. گیاه بادرشبو (*Dracocephalum moldavica* L.) یکی از گیاهان دارویی معطر است که در طب به‌عنوان التیام‌دهنده زخم و جراحی استفاده می‌شود. در این پژوهش جیبرلین با هدف کنترل استرس اکسیداتیو در تحمل به کمبود آب، بکار گرفته شد و تغییرات محتوای رنگیزه‌های برگ و ترکیبات فنلی کل بر روی گیاه بررسی شد. بدین منظور، آزمایش به صورت فاکتوریل در قالب کاملاً تصادفی در ۴ تکرار اجرا گردید، که در آن عامل آبیاری در سه سطح شامل: FC (بدون تنش)، $\frac{2}{3}FC$ (تنش ملایم) و $\frac{1}{3}FC$ (تنش شدید) و جیبرلیک اسید در دو سطح (mM) ۱۰ و ۰ در نظر گرفته شد. نتایج آزمایش نشان داد که با افزایش شدت تنش میزان کلروفیل a، b و (b+a) کاهش یافت، در حالی که مقدار فلاونوئید، آنتوسیانین و ترکیبات فنلی افزایش یافت. همچنین در اثر دهیدراتاسیون، افزایش β -کاروتن و گزانتوفیل تنها در تنش ملایم دیده شد. جیبرلیک اسید میزان کلروفیل‌ها، سرعت واکنش هیل و ترکیبات فنلی را به طور معنی‌داری افزایش داد، اما در میزان فلاونوئید و آنتوسیانین تغییر چشمگیری مشاهده نشد. بنابر نتایج بدست آمده در این پژوهش، جیبرلیک اسید خارجی توانست با مکانیسم‌های مختلفی توانایی گیاه بادرشبو را در پاسخ به تنش خشکی افزایش داده و سبب افزایش میزان فتوستتز در گیاه شود.

واژه‌های کلیدی: بادرشبو (*Dracocephalum moldavica* L.)، تنش خشکی، جیبرلیک اسید، فلاونوئید، سرعت واکنش هیل

* نویسنده مسئول، تلفن: ۰۲۱-۳۶۰۱۲۳۸۹ پست الکترونیکی: H_Rezaee201048@yahoo.com

مقدمه

بیشتر اعضای خانواده لامیاسه (*Labiatae*) به خاطر اسانس شناخته می‌شوند. گونه بادرشبو متعلق به تیره لامیاسه، زیر تیره پیوسته گلبرگ، و راسته دولپه‌ای‌هاست (۴). گیاهی علفی، یکساله، و برگ متقابل است. دارای گل‌های درشت، آبی مایل به بنفش یا سفید است. در شمال غرب ایران بیشتر رشد می‌کند (۲۸). به عنوان گیاه آرامش بخش و اشتها آور مطرح است و بیشتر در طب به عنوان التیام‌دهنده زخم و جراحی مورد استفاده قرار می‌گیرد. اسانس بادرشبو خاصیت ضد باکتریایی دارد و از آن برای

بیشتر اعضای خانواده لامیاسه (*Labiatae*) به خاطر اسانس شناخته می‌شوند. گونه بادرشبو متعلق به تیره لامیاسه، زیر تیره پیوسته گلبرگ، و راسته دولپه‌ای‌هاست (۴). گیاهی علفی، یکساله، و برگ متقابل است. دارای گل‌های درشت، آبی مایل به بنفش یا سفید است. در شمال غرب ایران بیشتر رشد می‌کند (۲۸). به عنوان گیاه آرامش بخش و اشتها آور مطرح است و بیشتر در طب به عنوان التیام‌دهنده زخم و جراحی مورد استفاده قرار می‌گیرد. اسانس بادرشبو خاصیت ضد باکتریایی دارد و از آن برای

در هر دوره آبیاری باید این گیاه حدود ۳۰ تا ۴۰ میلی متر آب دریافت کند (۲). این مطالعه با هدف بررسی رفتار گیاه دارویی و معطر بادرشبو تحت این شرایط انجام شده است. همچنین نقش جیبرلیک اسید خارجی در حفاظت آنتی‌اکسیدانی بررسی شده است.

مواد و روشها

این تحقیق در منطقه پاکدشت در ۲۰ کیلومتری جنوب شرق تهران با عرض جغرافیایی 35° - 28° ، طول جغرافیایی 50° - 41° و ارتفاع از سطح دریا ۱۲۰۰ متر، در اواخر فصل تابستان (تاریخ کشت ۱۴ شهریور ماه) در شرایط گلخانه ای اجرا گردید. خاک مناسب کشت شنی-لومی بود که با استفاده از آزمایش خاک در آزمایشگاه مشخص گردید (جدول ۱). ۴۸ عدد گلدان با قطر دهانه ۱۸ سانتی متر، با ارتفاع ۱۵ سانتی متر و وزن خالی ۱۰۰ گرم انتخاب شد. کف گلدان تا ارتفاع ۴ سانتی متری شن درشت برای زهکشی مناسب ریخته شد و به میزان ۴ کیلوگرم از خاک مورد نظر پر گردید. به دلیل کمبود مواد آلی خاک به میزان ۲۰ گرم کود دامی پوسیده به گلدان ها به صورت سرک اضافه شد. تاریخ کاشت بذر ۱۵ شهریورماه، با متوسط دمای ۲۱ درجه سانتی گراد و میزان روشنایی ۱۳ ساعت در روز بود. در هر گلدان ۱۰ عدد بذر در عمق ۱ سانتی متری کاشته شد. طرح آزمایشی به صورت فاکتوریل در قالب کاملاً تصادفی در ۴ تکرار اجرا گردید که در آن عامل آبیاری در ۳ سطح شامل: FC (بدون تنش)، $\frac{2}{3}FC$ (تنش ملایم) و $\frac{1}{3}FC$ (تنش شدید) و عامل جیبرلیک اسید در دو سطح (۰ و ۱۰ میلی مولار) در نظر گرفته شد. اعمال تنش خشکی از هفته پنجم هنگامی که گیاهان به مرحله ۴ تا ۵ برگ رسیدند و بر اساس ظرفیت زراعی (FC) (۰/۸۵۷ گرم آب) (ظرفیت زراعی توسط آزمایشگاه خاک شناسی تعیین شد)، $\frac{2}{3}$ ظرفیت زراعی (۰/۵۷۱ گرم آب) و $\frac{1}{3}$ ظرفیت زراعی (۰/۲۸۶ گرم آب) انجام شد. پس از گذشت ۳ روز از اعمال تنش کم آبی، جیبرلین (غلظت

جمله تنش خشکی قرار می گیرد. توانایی زنده مانگی گیاه و ادامه رشد، نمو و فتوسنتز در تنش های محیطی به پتانسیل ژنتیکی گیاه وابسته است که به صورت پاسخ های فیزیولوژیکی و مولکولی خود را نشان می دهد. برخی مواد تنظیم کننده رشد خارج از گیاه می توانند گیاه را از طریق فتوسنتز بیشتر در مرحله دانه رستی برای تحمل تنش توانا تر سازند. تنش آب می تواند به طور مستقیم از طریق تأثیر در فرایندهای مختلف بیوشیمیایی در فتوسنتز و به طور غیر مستقیم از طریق کاهش جذب CO_2 ناشی از بستن روزنه ها، بر فتوسنتز اثر بگذرد (۳۱).

امروزه فرضیه ای درباره ارتباط بین سطح جیبرلین و مقابله با تنش ها غیر زیستی در گیاهان وجود دارد. مطالعه روی گیاهان جو طبیعی و پاکوتاه نشان می دهد که جیبرلین در این گیاهان سبب افزایش مقاومت به شرایط تنش کم آبی در آنها می شود. احتمالاً جیبرلین یک نقش کلیدی ویژه در مقابله با تنش ها دارد (۶). به خوبی مشخص شده است که جیبرلین توانایی تحریک رشد و نمو گیاه را در شرایط تنش های زیستی و غیر زیستی دارد (۲۱). ولی سنوآلی که پیش می آید این است که آیا جیبرلین در نتیجه افزایش میزان فتوسنتز، اندازه گیاه را افزایش می دهد؟ یا اینکه افزایش کارایی مصرف فرآورده های فتوسنتزی را در پی دارد؟ گزارشهای متناقضی در مورد بکارگیری جیبرلین ها در فرایندهای فتوسنتزی وجود دارد، بعضی از آنها بیانگر افزایش (۲۵)، بعضی دیگر گویای عدم تأثیر آن (۱۲) و گروهی نیز نشان دهنده کاهش این فرایند توسط ماده مذکور می باشند (۱۵). جیبرلین علاوه بر تحریک رشد در گندم، موجب افزایش توان فتوسنتز (۸)، افزایش رشد طولی برگ (۲۳) و بردباری در برابر تنش خشکی (۱۸) می شود.

با توجه به کاهش نزولات جوی، فرار گرفتن گیاهان در معرض تنش کم آبی امری اجتناب پذیر است. بادرشبو قادر به تحمل کم آبی و خشکی های طولانی مدت نیست.

۸ هفته، نمونه برداری‌ها برای اندازه‌گیری صفات انجام شد.

های ۰ و ۱۰ میلی مولار) براساس نقشه طرح به صورت اسپری در سطح زیرین و بالایی برگ گیاه به گلدانهای مورد نظر مطابق با طرح آزمایش داده شد. پس از گذشت

جدول ۱- نتایج آزمایش خاک مورد استفاده در گلدانها

| Sand % | Silt % | Clay % | OC % | Na avail. mg/kg | K avail. mg/kg | p avail. mg/kg | EC در عصاره اشباع Ds/M | PH در عصاره اشباع | FC% |
|--------|--------|--------|------|-----------------|----------------|----------------|------------------------|-------------------|-------|
| ۱۳ | ۷۸ | ۹ | ۰/۲۷ | ۱۱۲ | ۲۸۹/۹ | ۴۴ | ۱/۴ | ۸/۱ | ۲۹/۷۷ |

موج ۴۴۵ نانومتر جذب اندازه‌گیری شد و با کمک فرمول زیر محاسبه شد (در هر مورد حجم‌ها یادداشت شد) (۱۹).

$$C = \frac{V \times A \times F \times 10}{2500}$$

C = میزان رنگیزه برحسب میلی گرم بر گرم بافت تر
A = میزان جذب V = حجم عصاره
F = ۱ در نظر گرفته می‌شود.

سرعت واکنش هیل: سرعت واکنش هیل بر اساس روش Trebest اندازه‌گیری گردید. ۱ گرم از بافت تر اندام هوایی را جدا کرده و با ۳ میلی لیتر بافر فسفات (pHV) هموزن کرده و با دور ۵۰۰۰ به مدت ۱۵ دقیقه سانتریفوژ شد. رسوبات را جدا و به آن ۲ میلی لیتر بافر تریس کلرید اضافه می‌کنید. پس از هموزن کردن ۰/۵ میلی لیتر از بافر را با ۰/۳ میلی لیتر دی کلروفنول ایندوفنول و ۰/۳ میلی لیتر آب مقطر مخلوط شد. آنگاه تغییرات جذب را در فواصل زمانی ۱ دقیقه در طول موج ۶۰۰ نانومتر با کمک اسپکتروفوتومتر اندازه‌گیری کرده و میانگین تغییرات جذب به عنوان سرعت واکنش هیل بیان گردید (۳۶).

سنجش فلاونوئید و آنتوسیانین: فلاونوئید و آنتوسیانین بر اساس روش Nagues و Baker اندازه‌گیری گردید. ۱ گرم بافت تر برگ را در ۱۰ میلی لیتر متانول اسیدی (شامل الکل متیلیک و هیدروکلریک اسید خالص به نسبت حجمی ۹۹ به ۱) همگن و سانتریفوژ شد. جذب عصاره رویی در ۳۰۰ و ۵۳۰ نانومتر به ترتیب برای فلاونوئیدها و

سنجش کلروفیل a, b و محتوای کلروفیل کل: برای اندازه‌گیری میزان کلروفیل از روش Allen و Krik استفاده شد. ۰/۲ گرم بافت تازه برگ را از اندام هوایی جدا کرده، با ۱۵ میلی لیتر استون ۸۰٪ هموزن نموده و پس از سانتریفوژ با دور ۳۰۰۰ به مدت ۱۵ دقیقه جداسازی گردید و طول موج جذبی آن توسط دستگاه اسپکتروفوتومتر در طول موج‌های ۶۶۳، ۶۴۶ و ۴۸۰ نانومتر اندازه‌گیری شد. سپس با قرار دادن میزان جذب در فرمول ذیل، غلظت کلروفیل‌های a، b و (a+b) برحسب میلی گرم بر میلی لیتر محلول بدست آمد (۱۵).

$$Chl\ a+b = 8.05A_{663} - 2.03A_{645}$$

$$Chl\ a = 12.25 A_{663} - 2.79A_{646}$$

$$Chl\ b = 21.21A_{646} - 5.1A_{663}$$

سنجش کاروتنوئیدها: برای سنجش گزانتوفیل و β -کاروتن در دکانتور هم حجم عصاره استنی، اتر نفت اضافه گردید. بعد از حذف فاز استنی (قسمت پایین) هم حجم فاز اتر نفت (قسمت بالایی) متانول اضافه گردید و پس از هموزن کردن به آن آب نمک ۳٪ اضافه و بعد دو فاز بالایی (اتر نفت) و پایینی (متانول) جدا شد. به اتر نفت، پتاس متانولی اضافه کرده و پس از هموزن کردن فاز بالایی را که شامل کاروتن است، جدا می‌کنیم. به فاز متانولی، دی اتیل اتر با کمی آب نمک اضافه شد، و به فاز رویی پتاس متانولی اضافه می‌کنیم. سپس فاز بالایی را که شامل گزانتوفیل است جدا و با دستگاه اسپکتروفوتومتر در طول

دانکن در سطح ۵٪ انجام شد. رسم شکل‌ها و معادله‌های مربوطه از طریق نرم‌افزار Excel انجام گردید.

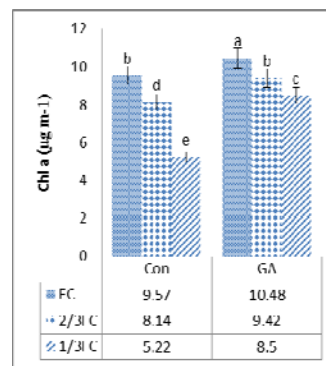
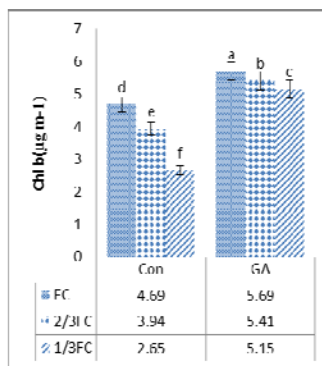
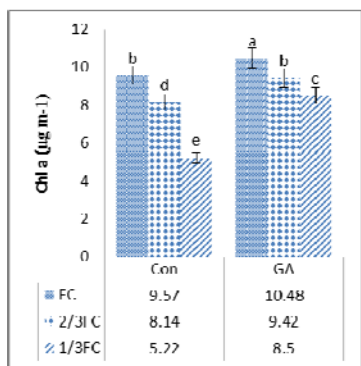
نتایج

محتوای کلروفیل a، b و (a+b) در مقایسه با شاهد در تیمار خشکی و جیبرلین کاهش معنی‌دار در سطح ۵ درصد یافت (جدول ۲). بیشترین محتوای کلروفیل a، b و (a+b) در تیمار (بدون تنش و GA=10mM) با میانگین کلروفیل a (۱۰/۴۷ $\mu\text{g/mL}$) (شکل ۱) و کلروفیل b (۵/۶۹ $\mu\text{g/mL}$) (شکل ۲) و کلروفیل (a+b) (۱/۳۴ $\mu\text{g/mL}$) (شکل ۳) و کمترین محتوای کلروفیل a، b و (a+b) در تیمار (1/3 FC و GA=0mM) با میانگین‌های کلروفیل a (۶/۶۸ $\mu\text{g/mL}$) و کلروفیل b (۳/۹ $\mu\text{g/mL}$) و کلروفیل (a+b) (۰/۸۵ $\mu\text{g/mL}$) (جدول ۳) مشاهده شد. در شرایط یکسان تنش خشکی، کاهش محتوای کلروفیل a، b و (a+b) در تمام تیمارهایی که تحت اسپری GA قرار داشتند در مقایسه با گیاهانی که تنها تحت خشکی بودند، کمتر بود.

آنتوسیانین‌ها با کمک اسپکتروفوتومتر تعیین شد و نتایج به صورت جذب در گرم وزن تر مورد مقایسه قرار گرفت (۳۰).

سنجش ترکیبات فنول کل: برای سنجش مقدار ترکیبات فنول کل از روش Matta و Gaii استفاده شد. ۰/۱ گرم نمونه تر در ۱۰ میلی‌لیتر اتانول ۸۰٪ جوشانده شد. سپس نمونه‌ها سانتریفیوژ شده و به آن فولن رقیق شده با آب (۱:۳) و کربنات سدیم اشباع اضافه گردید و دوباره سانتریفیوژ شد. در نهایت اندازه‌گیری توسط دستگاه اسپکتروفوتومتر در طول موج ۶۴۰ نانومتر تعیین شد. رسم منحنی استاندارد با استفاده از کاتکول انجام گردید. محاسبه میزان ترکیبات فنولی بر حسب میلی‌گرم در گرم وزن تر انجام شد (۲۶).

تجزیه و تحلیل آماری: داده‌های حاصل از آزمایش از طریق SAS مورد تجزیه واریانس و مقایسه میانگین قرار گرفت و مقایسه میانگین‌ها با استفاده از آزمون چند دامنه

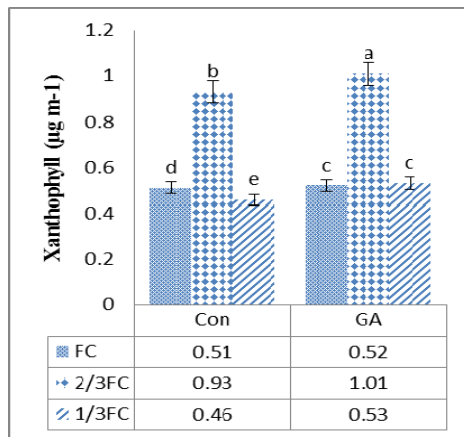


شکل ۳- تأثیر سطوح مختلف تنش خشکی در حضور جیبرلین (GA) و عدم حضور آن بر محتوای کلروفیل a+b در گیاه بادرشبو. نتایج به صورت میانگین \pm SE بر اساس آزمون دانکن ($p \leq 0.05$) نشان داده شده است. حروف مشترک معرف عدم تفاوت معنی‌دار در سطح ۵ درصد است.

شکل ۲- تأثیر سطوح مختلف تنش خشکی در حضور جیبرلین (GA) و عدم حضور آن بر محتوای کلروفیل b در گیاه بادرشبو. نتایج به صورت میانگین \pm SE بر اساس آزمون دانکن ($p \leq 0.05$) نشان داده شده است. حروف مشترک معرف عدم تفاوت معنی‌دار در سطح ۵ درصد است.

شکل ۱- تأثیر سطوح مختلف تنش خشکی در حضور جیبرلین (GA) و عدم حضور آن بر محتوای کلروفیل a در گیاه بادرشبو. نتایج به صورت میانگین \pm SE بر اساس آزمون دانکن ($p \leq 0.05$) نشان داده شده است. حروف مشترک معرف عدم تفاوت معنی‌دار در سطح ۵ درصد است.

کمترین محتوای β -کاروتن در تیمار $1/3FC$ با میانگین $0.49 \mu\text{g/mL}$ و گزانتوفیل با میانگین $0.49 \mu\text{g/mL}$ مشاهده شد. در شرایط یکسان تنش خشکی، افزایش محتوای β -کاروتن و گزانتوفیل در تمامی تیمارهایی که تحت اسپری GA قرار داشتند در مقایسه با گیاهانی که تحت تنش خشکی بودند، کمتر بود (شکل‌های ۴ و ۵).

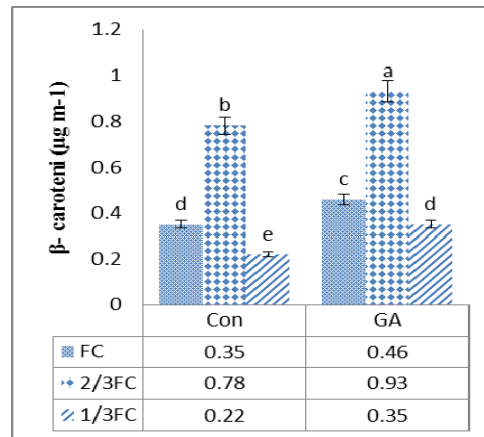


شکل ۵- تأثیر سطوح مختلف تنش خشکی در حضور جیبرلین (GA) و عدم حضور آن بر محتوای گزانتوفیل در گیاه بادرشبو. نتایج به صورت میانگین $\text{Mean} \pm \text{SE}$ بر اساس آزمون دانکن ($p \leq 0.05$) نشان داده شده است. حروف مشترک معرف عدم تفاوت در سطح ۵ درصد است.

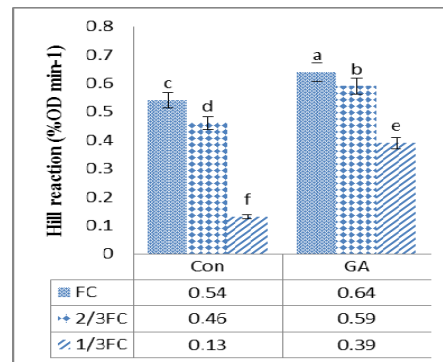
وجود دارد (جدول ۲). در این شرایط متوسط سرعت واکنش هیل در وضعیت تنش آبی شدید ($1/3FC$) 0.26 OD/min و در آبیاری مطلوب (FC) 0.59 OD/min بود (جدول ۳). اثر ساده جیبرلین بر سرعت واکنش هیل در سطح ۱ درصد معنی دار شد. به طوری که استفاده از جیبرلین در شرایط تنش شدید به میزان 0.39 OD/min رسید (شکل ۶).

نتایج نشان داد که از نظر میزان آنتوسیانین و فلاونوئید بین سطوح مختلف تنش خشکی و اثر متقابل خشکی و جیبرلین تفاوت معنی دار در سطح یک درصد وجود دارد (جدول ۲). در این شرایط متوسط میزان فلاونوئید در وضعیت تنش آبی شدید ($1/3FC$) به میزان $1.81 \text{ min}^{-1} \text{g}^{-1} \text{FW}$ و آنتوسیانین $1.81 \text{ min}^{-1} \text{g}^{-1} \text{FW}$

محتوای کاروتنوئیدها که شامل β -کاروتن و گزانتوفیل نیز می‌باشد، نسبت به شاهد با افزایش شدت تنش تا سقف $2/3FC$ افزایش یافت. افزایش میزان تنش به میزان $1/3FC$ سبب کاهش محتوای این دو رنگیزه شد. طبق جدول ۲، بیشترین محتوای β -کاروتن در تیمار ($2/3FC$) با میانگین $0.86 \mu\text{g/mL}$ و گزانتوفیل به میزان $0.97 \mu\text{g/mL}$



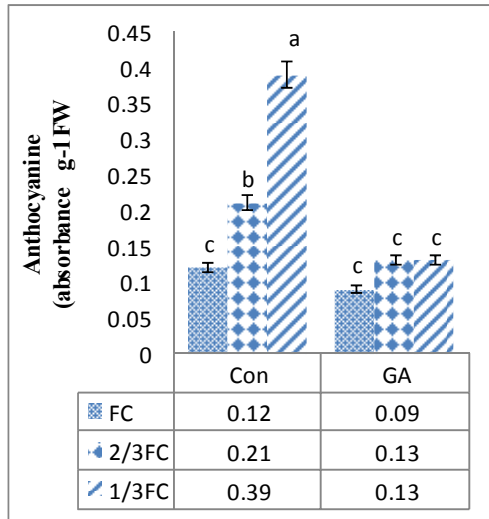
شکل ۴- تأثیر سطوح مختلف تنش خشکی در حضور جیبرلین (GA) و عدم حضور آن بر محتوای β -کاروتن در گیاه بادرشبو. نتایج به صورت میانگین $\text{Mean} \pm \text{SE}$ بر اساس آزمون دانکن ($p \leq 0.05$) نشان داده شده است. حروف مشترک معرف عدم تفاوت معنی دار در سطح ۵ درصد است.



شکل ۶- تأثیر سطوح مختلف تنش خشکی در حضور جیبرلین (GA) و عدم حضور آن بر سرعت واکنش هیل در گیاه بادرشبو. نتایج به صورت میانگین $\text{Mean} \pm \text{SE}$ بر اساس آزمون دانکن ($p \leq 0.05$) (نشان داده شده است. حروف مشترک معرف عدم تفاوت معنی دار در سطح ۵ درصد است.

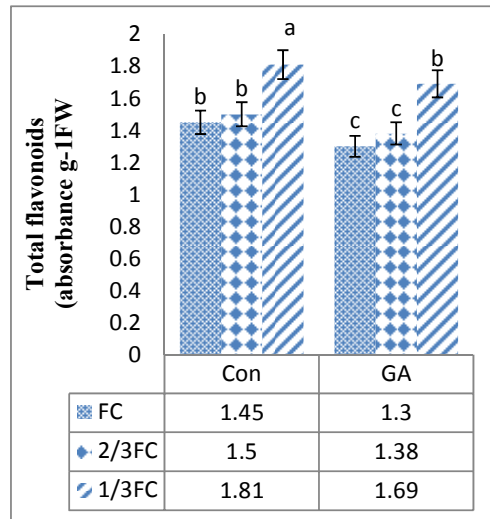
نتایج تحقیق نشان داد که از نظر سرعت واکنش هیل بین سطوح تنش خشکی تفاوت معنی داری در سطح ۱ درصد

(شکل ۸). همچنین کاربرد جیبرلین تأثیر چندانی در میزان فلاونوئید و آنتوسیانین نداشته است (جدول ۲).



شکل ۸- تأثیر سطوح مختلف تنش خشکی در حضور جیبرلین (GA) و عدم حضور آن بر میزان آنتوسیانین در گیاه بادرشبو. نتایج به صورت میانگین $\text{Mean} \pm \text{SE}$ بر اساس آزمون دانکن ($p \leq 0.05$) نشان داده شده است. حروف مشترک معرف عدم تفاوت معنی‌دار در سطح ۵ درصد است.

۰/۳۹، و در شرایط مطلوب آبیاری و استفاده از جیبرلین فلاونوئید به میزان $(\text{Absorbance min}^{-1}\text{g}^{-1}\text{FW})$ ۱/۳۰ (شکل ۷) و آنتوسیانین $(\text{Absorbance g}^{-1}\text{FW})$ ۰/۰۹ رسید

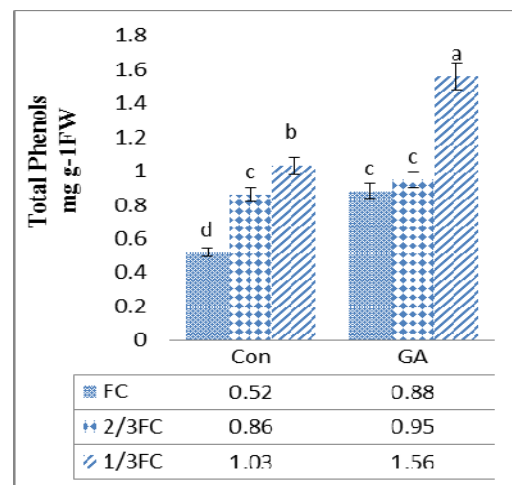


شکل ۷- تأثیر سطوح مختلف تنش خشکی در حضور جیبرلین (GA) و عدم حضور آن بر میزان فلاونوئید در گیاه بادرشبو. نتایج به صورت میانگین $\text{Mean} \pm \text{SE}$ بر اساس آزمون دانکن ($p \leq 0.05$) نشان داده شده است. حروف مشترک معرف عدم تفاوت معنی‌دار در سطح ۵ درصد است.

میزان ترکیبات فنلی در شرایط تنش شوری و استفاده از جیبرلین نشان داد که تفاوت معنی‌داری در سطح یک درصد است (جدول ۲). اثر متقابل تنش خشکی با جیبرلین بر صفت مورد بحث نشان داد که بیشترین مقدار ترکیبات فنلی در تنش شدید به همراه جیبرلین $(\text{mg g}^{-1}\text{Fw})$ ۱/۵۶ و کمترین آن مقدار در شرایط بدون تنش $(\text{mg/g}^{-1}\text{Fw})$ ۰/۵۲ رسیده است (شکل ۹).

بحث

نتایج مطالعه حاضر نشان داد که تنش شدید خشکی به طور معنی‌داری میزان رنگدانه‌های کلروفیل a، b و a+b را کاهش داد (شکل‌های ۱، ۲، و ۳). هورمون آبسزیک اسید در گیاهان بر اثر تنش خشکی تولید شده و باعث بازدارندگی انتقال الکترون، کاهش فعالیت روبیسکو و



شکل ۹- تأثیر سطوح مختلف تنش خشکی در حضور جیبرلین (GA) و عدم حضور آن بر مقدار ترکیبات فنلی در گیاه بادرشبو. نتایج به صورت میانگین $\text{Mean} \pm \text{SE}$ بر اساس آزمون دانکن ($p \leq 0.05$) (نشان داده شده است). حروف مشترک معرف عدم تفاوت معنی‌دار در سطح ۵ درصد است.

(شکل‌های ۴ و ۵). تخریب کاروتن در خشکی شدید را می‌توان به اکسیژن یکتایی تولید شده در تیلاکوئیدها ربط داد (۱۷). علاوه بر آن، کاروتنوئیدها با استفاده از چرخه گزانتوفیل و واکنش‌های اپوکسیداسیون و دپوکسیداسیون، مصرف اکسیژن را کاهش داده و از کلروفیل در مقابل فتواکسیداسیون محافظت می‌کنند (۳۳). استفاده از جیبرلین نیز سبب کاهش میزان گزانتوفیل و β -کاروتن در شرایط تنش شد (شکل‌های ۴ و ۵). جیبرلین می‌تواند با تأثیر بر ژن‌های کدکننده مسیر بیوستنز ژرانیل پیروفسفات سنتز کاروتنوئیدها را تحت تأثیر قرار دهد (۳۴). کاروتنوئیدها از خاموش‌کننده‌های مهم حالت یکتایی کلروفیل و اکسیژن یکتایی محسوب می‌شوند. حضور و افزایش تدریجی آنها با افزایش ظرفیت دفاع آنتی‌اکسیدانی برگ، باعث کاهش رادیکال‌های آزاد تولید شده در برگ شده و از این طریق آسیب به مراکز واکنشی و غشاها کاهش می‌یابد. از طرفی کاروتنوئیدها از جمله سیستم‌های دفاعی هستند که بتدریج و با بلوغ برگ، جایگزین سیستم دفاعی آنتوسیانینی برگ جوان می‌شوند (۱).

ترکیبات آنتی‌اکسیدانی دیگر (فلاونوئید، آنتوسیانین و ترکیبات فنولی کل) در شرایط تنش خشکی افزایش معنی‌دار یافت. در سبب زمینی (۳۷) همانند گیاه بادرشبو با افزایش تنش خشکی، میزان تولید فلاونوئید افزایش یافت (شکل ۷). انباشتگی آنتوسیانین طی دهیدراتاسیون در برگ گیاه *Craterostigma* نیز گزارش شده است (۱۶). نتایج نشان‌دهنده افزایش مسیر اصلی تولید فلاونوئید است که منجر به تولید آنتوسیانینی می‌شود (۳۷). طبق نتایج بدست آمده، استفاده از جیبرلین سبب کاهش ترکیبات فلاونوئید و آنتوسیانین شد (شکل‌های ۷ و ۸). احتمالاً جیبرلین پیش‌سازهای آنزیمی غیر فعال موجود در کلروپلاست برگها را جهت بهبود سیستم آنتی‌اکسیدانی فعال می‌کند که با نتایج گیاه رزماری مطابقت دارد (۲۴).

افزایش سرعت تنفس می‌شود (۵). کاهش کلروفیل به عنوان عامل محدودکننده غیر روزنه‌ای فتوسنتز محسوب می‌شود، که با یافته‌هایی در گوجه‌فرنگی (۲۹)، ذرت، *Vicia faba* و توتون (۲۰) مطابقت دارد. همچنین دریافتند که در شرایط تنش خشکی، کاهش رنگدانه‌های فتوسنتزی و کاهش سرعت واکنش هیل به علت تجزیه کلروپلاست، کاهش سنتز کلروفیل و کاهش تعداد پلاستیدها می‌باشد (۱۵). افزایش رادیکال‌های آزاد که در زمان تنش خشکی در گیاه ایجاد می‌شود، به عنوان عامل مؤثر در کاهش فتوسنتز مطرح است (۳۱). تیمار با جیبرلین توانسته است میزان کلروفیل a, b و $(b+a)$ را افزایش دهد. نتایج حاصل از این تحقیق با تحقیقاتی در بادمجان (۳۳)، و در گندم (۳۴) مطابقت دارد. از دهه گذشته از هورمون‌های گیاهی مانند جیبرلیک اسید و سالیسیلیک اسید به عنوان آنتی‌اکسیدان در مقابله با تنش‌های غیر زیستی استفاده می‌شود (۱۷). گونه‌های اکسیژن فعال مانند اکسیژن یکتایی، سوپر اکسید و رادیکال‌های هیدروکسیل، سوخت و ساز طبیعی گیاه را از طریق آسیب به پروتئین‌ها، لیپیدها، نوکلئوتیدها و آنزیم‌های فتوسنتزی مختل می‌کنند. دفاع آنزیمی و آنتی‌اکسیدانی مهمترین عوامل دفاعی گیاه هستند (۱۳). گزارش شده است جیبرلیک اسید نقش مهمی در بیوستنز، عملکرد و اثرات فیزیولوژیکی سالیسیلیک اسید خواهد داشت. سالیسیلیک اسید به عنوان یک هورمون مهم در پاسخ به تنش‌های اکسیداتیو مطرح است (۱۱).

کاروتنوئیدها قادرند انرژی زیاد طول موج‌های کوتاه را گرفته و اکسیژن یکتایی را به سه تایی تبدیل کند و با گرفتن رادیکال‌های اکسیژن تولید شده نقش آنتی‌اکسیدانی خود را ایفا نمایند (۷). در این آزمایش میزان گزانتوفیل و β -کاروتن در شرایط تنش ملایم ($2/3FC$) افزایش شدید یافته تا اثرات تنش را خنثی کند، ولی با افزایش شدت تنش ($1/3FC$)، گزانتوفیل و β -کاروتن دیگر قادر به خنثی کردن اثرات رادیکال‌های آزاد نبوده و کاهش می‌یابد

ترکیبات فنولی، فلاونوئیدها و آنتوسیانین‌های گیاهان غالباً اثر ضد میکروبی دارند (۳۵). بسیاری از خواص ضد میکروبی عصاره‌های گیاهی به علت وجود موادی مانند تانن‌ها، ترکیبات فنلی و نظایر آن می‌باشد که در قسمت‌های مختلف ریشه، برگ، جوانه‌ها، نهال و پوست گیاهان وجود دارد (۹). ترکیبات فنلی در بسیاری از گیاهان وجود دارد که در این تحقیق نیز به بررسی میزان آن در گیاه بادرشبو پرداخته شد. اثرات ضد میکروبی آن بستگی به محل و تعداد گروه‌های هیدروکسیل روی حلقه فنلی دارد و ادعا شده که ارتباط مستقیم بین گروه‌های هیدروکسیل و سمیت آنها روی میکروارگانیسم‌ها وجود دارد (۳۵). فنل‌های اکسید شده نیز اثر شدیدتری اعمال می‌کنند. همچنان که مکانیسم احتمالی این ترکیبات مهار آنزیمی از طریق

واکنش با گروه‌های سولفیدریل یا واکنش‌های غیر اختصاصی با پروتئین‌های میکروبی است (۱۴). با پیشرفت تنش خشکی میزان ترکیبات فنلی کل افزایش یافت (شکل ۹). قبلاً نیز طبق آزمایش‌های انجام شده در درخت زیتون، با افزایش آبیاری فعالیت آنزیم آلانین آمونیا لایز (PAL) و میزان فنل کل میوه زیتون کاهش یافته بود، که همین محقق فعالیت PAL را شدیداً تحت تأثیر شرایط محیطی می‌داند که نقش مهمی در کنترل فنولیک‌های کل دارد (۲۷). یکی از عملکردهای مهم و شناخته شده فنول‌ها، شرکت آنها در مکانیسم‌های دفاعی است. با توجه به شکل ۹ جیبرلین ترکیبات فنلی کل را افزایش داد. این مسئله ممکن است مربوط به تداخل فرضی بین هر دو گروه (جیبرلین و ترکیبات فنلی کل) باشد (۲۷).

جدول ۲- تجزیه واریانس اثر تنش خشکی و جیبرلین بر صفات مورد آزمون نتایج به صورت میانگین $\text{Mean} \pm \text{SE}$ بر اساس آزمون دانکن ($p \leq 0.05$) نشان داده شده است. حروف مشترک معرف عدم تفاوت معنی‌دار در سطح ۵ درصد است.

| منبع تغییرات | درجه | میانگین مربعات | | | | | | | | |
|----------------|-----------|--------------------|--------------------|--------------------|---------------------|--------------------|---------------------|---------------------|---------------------|--------------------|
| آزادی | کلروفیل a | کلروفیل b | کلروفیل a+b | β -کاروتن | گزانتوفیل | واکنش هیل | فلاونوئید | آنتوسیانین | ترکیبات فنلی | |
| تکرار | ۵ | ۱۳/۴ ^{ns} | ۵/۱ ^{ns} | ۰/۲ ^{ns} | ۰/۳ ^{**} | ۰/۲۳ ^{**} | ۰/۱۳ ^{**} | ۰/۲۱ ^{**} | ۰/۰۵ ^{**} | ۰/۴۶ ^{**} |
| خشکی | ۲ | ۲۰/۳ ^{**} | ۳/۴ ^{**} | ۰/۱۸ ^{**} | ۰/۷۷ ^{**} | ۰/۵۷ ^{**} | ۰/۲۴ ^{**} | ۰/۴۳ ^{**} | ۰/۰۴۵ ^{**} | ۰/۷۳ ^{**} |
| جیبرلین | ۱ | ۱۹/۹ ^{**} | ۱۶/۴ ^{**} | ۰/۳۱ ^{**} | ۰/۱ ^{**} | ۰/۰۱ ^{ns} | ۰/۱۶ ^{**} | ۰/۱۹ ^{ns} | ۰/۰۱۹ ^{ns} | ۰/۶۶ ^{**} |
| خشکی × جیبرلین | ۲ | ۳/۲ ^{**} | ۱/۲ ^{**} | ۰/۰۳ ^{**} | ۰/۰۰۱ ^{**} | ۰/۰۰۲ [*] | ۰/۰۱۵ ^{**} | ۰/۰۰۹ ^{**} | ۰/۰۳۱ ^{**} | ۰/۰۹۶ [*] |
| خطا | ۱۸ | ۰/۱۵ | ۰/۱۰۳ | ۰/۰۰۸ | ۰/۰۰۰ | ۰/۰۰۰ | ۰/۰۰۱ | ۰/۰۰۲ | ۰/۲۱ | ۰/۰۰۵ |
| ضریب تغییرات | | ۰/۰۰۰ | ۰/۰۰۱ | ۰/۰۳۷ | ۰/۱۹۱ | ۰/۰۰۱ | ۰/۰۰۱ | ۰/۰۴۲ | ۰/۰۰۰ | ۰/۰۰۰ |

ns غیر معنی‌دار بودن، * معنی‌دار بودن در سطح ۵ درصد، ** معنی‌دار بودن در سطح ۱ درصد

جدول ۳- مقایسه میانگین تأثیر سطوح تنش خشکی و استفاده از جیبرلین بر صفات مورد آزمون نتایج به صورت میانگین $\text{Mean} \pm \text{SE}$ بر اساس آزمون دانکن ($p \leq 0.05$) نشان داده شده است. حروف مشترک معرف عدم تفاوت معنی‌دار در سطح ۵ درصد است.

| تیمار | میانگین مربعات | | | | | | | | |
|---------|---------------------|-------------------|-------------------|-------------------|-------------------|-------------------|-------------------|-------------------|--------------------|
| آزادی | کلروفیل a | کلروفیل b | کلروفیل a+b | β -کاروتن | گزانتوفیل | واکنش هیل | فلاونوئید | آنتوسیانین | ترکیبات فنلی |
| آبیاری | | | | | | | | | |
| FC | ۱۰/۰۲ ^a | ۵/۱۹ ^a | ۱/۱۶ ^a | ۰/۴۰ ^b | ۰/۵۲ ^b | ۰/۵۹ ^a | ۱/۳۲ ^b | ۰/۱۱ ^c | ۰/۷۰۱ ^c |
| 2/3FC | ۸/۷۹ ^b | ۴/۶۷ ^b | ۰/۹۹ ^b | ۰/۸۶ ^a | ۰/۹۷ ^a | ۰/۵۲ ^b | ۱/۳۷ ^b | ۰/۱۷ ^b | ۰/۹۰ ^b |
| 1/3FC | ۶/۸۶ ^c | ۳/۸۹ ^c | ۰/۸۵ ^c | ۰/۲۹ ^c | ۰/۴۹ ^c | ۰/۲۶ ^c | ۱/۷۵ ^c | ۰/۲۶ ^a | ۱/۲۹ ^a |
| جیبرلین | | | | | | | | | |
| 0mM | ۱۰/۰۲ ^b | ۵/۱۹ ^b | ۱/۱۶ ^b | ۰/۴۰ ^b | ۰/۵۲ ^a | ۰/۵۹ ^b | ۱/۳۲ ^a | ۰/۱۱ ^a | ۰/۷۰۱ ^b |
| 10mM | ۱۰/۰۴۷ ^a | ۵/۶۹ ^a | ۱/۳۴ ^a | ۰/۴۵ ^a | ۰/۵۲ ^a | ۰/۶۴ ^a | ۱/۳ ^a | ۰/۰۹ ^a | ۰/۸۸ ^a |

حروف مشابه در هر ستون بیانگر عدم وجود اختلاف معنی‌دار براساس آزمون دانکن در سطح احتمال ۵٪ می‌باشد.

اکسیدانی و افزایش میزان فتوسنتز به عنوان یک ترکیب ضد تنش مطرح شود. تحقیق بیشتر در این زمینه می‌تواند به افزایش شناخت اثرات ضد تنش جیبرلین خارجی و نقش هورمونهای گیاهی در افزایش خواص دارویی گیاهانی که تحت تأثیر تنش قرار دارد، بینجامد.

نتیجه‌گیری: در مطالعه حاضر اطلاعاتی درباره تأثیر جیبرلیک اسید بر میزان تحمل به خشکی در گیاه دارویی بادرشبو ارائه شد. میزان تجمع کاروتنوئیدها، فلاونوئید، آنتوسیانین و ترکیبات فنلی در برگها می‌تواند به عنوان راه‌حل‌های مقابله با تنش خشکی مطرح باشد. از طرف دیگر جیبرلین می‌تواند با کاهش میزان ترکیبات آنتی

منابع

- ۱- چپارزاده ن.، رحیم پور شفیعی ل. دولتی م. برزگر ا. ۱۳۹۲. تغییرات رنگدانه‌های وابسته به سن در برگهای *Rosa hybrida* مجله پژوهش‌های گیاهی (مجله زیست‌شناسی ایران)، جلد ۲۶، شماره ۳، صفحه ۲۸۳-۲۸۱.
- ۲- دوازده امامی س.، سفیدکن ف. جهانسوز م. ر. مظاهری د. ۱۳۸۷. مقایسه عملکرد بیولوژیکی، عملکرد کمی و کیفی اسانس و مراحل فنولوژیکی در کشت پاییزه، بهاره و تابستانه بادرشبویه (*Dracocephalum moldavica* L). گیاهان دارویی و معطر ایران، جلد ۲۴، شماره ۳، صفحه ۲۷۰-۲۶۳.
- ۳- زرگری ع. ۱۳۷۶. گیاهان دارویی، انتشارات دانشگاه تهران، جلد ۴، فصل ۱، صفحه ۸۳-۸۲.
- ۴- مظفریان و ا. ۱۳۷۵. فرهنگ نام‌های گیاهان ایرانی، انتشارات فرهنگ معاصر، صفحه ۱۹۲.
- ۵- منصوری ح.، اسرار ز. ۱۳۹۲. اثر ABA روی رنگدانه‌ها و دلنا 9-تتراهیدروکانابینول گیاه شاهدانه (*Cannabis sativa*) در مرحله گلدهی، مجله زیست‌شناسی ایران جلد ۲۶، شماره ۱، صفحه ۸۹-۸۲.
- ۶- ناصری ز.، عباسی ف. ۱۳۹۱. بررسی اثر تیمارهای مختلف هورمون جیبرلین بر ویژگی‌های جوانه زنی بذور جو خوراکی (*Hordeum vulgare* L) تحت تنش خشکی. دومین همایش ملی علوم و تکنولوژی بذر، دانشگاه آزاد اسلامی واحد مشهد.
- 7- Amanullah M M., Sekar S. Vincent S. 2010. Plant growth substances in crop production. Asian J. Plant Sci. 9, 215-222.
- 8- Ashraf M., Harris P J C. 2013. Photosynthesis under stressful environments: An overview. Photosynthetica, 51 (2): 163-190.
- 9- Avijgan M., Saadat M. Nilforoosh-Zadeh M A. Hafizi M. 2006. Anti-fungal effect of *Echinophora platyloba* extract on some common dermatophytes. Journal Med Plants, 5(18): 10-16.
- 10- Brooking I R., Cohen D. 2002. Gibberellin-induced flowering in small tubers of *Zantedeschia* "Black Magic". Sci. Hort. 95: 63-73.
- 11- Clarke S M., Mur L A J. Wood J E. Scott I M. 2004. Salicylic acid dependent signaling promotes basal thermotolerance but is not essential for acquired thermotolerance in *Arabidopsis thaliana*. Plant Journal, 38, 432-447.
- 12- El-Dengawy E F A., 2005. Promotion of seed germination and subsequent seedling growth of loquat (*Eriobotrya japonica* Lindl) by moist-chilling and GA3 applications. Scientia Horticulturae. 105: 331-342.
- 13- Ghasemzadeh A., Hawa Z E. 2013. Interactive Effect of Salicylic Acid on Some Physiological Features and Antioxidant Enzymes Activity in Ginger (*Zingiber officinale Roscoe*). Journal molecules, 18, 5965-5979.
- 14- Hanane A., Mostefa Gh. 2014. Effect of salinity stress, *Streptomyces* sp. SF5 and *Salsola vermiculata* on germination of *Triticum durum* L. Sky Journal of Agricultural Research Vol. 3(1), pp. 007 – 016.
- 15- Heba I., M. Samia A A. 2014. Influence of Garlic Extract On Enzymatic and Non Enzymatic Antioxidants in Soybean Plants (*Glycine Max*) Grown under Drought Stress. Life Science Journal; 11(3s), 46-58.
- 16- Hoekstra F A., Golovina E A. Buitink J. 2000. Mechanisms of plant desiccation tolerance. Trends in Plant Sci. 6(9): 431-438.

- 17- Iqbal N., Nazar R. Khan M I R. Masood A. Khan N A. 2011. Role of gibberellins in regulation of source-sink relations under optimal and limiting environmental conditions. *Curr Sci.* 100 (7): 998-1007.
- 18- Jeller H., Gualtierres A P. Sonia C J. 2001. Effect of water and salt stress and gibberellins action in *Senna spectabilis* seeds. *Ciencia Florestal*, 11: 93-104.
- 19- Jensen A., 1978. Chlorophylls and carotenoids. In *Handbook of Phycological Methods: Physiological and Biochemical Methods* (Hellebust J A., Craigie J. editors S.), Cambridge University Press, Cambridge, pp.59-70.
- 20- Kaya I., Kirmak H. Tas C. Higgs D. 2010. The influence of water deficit on vegetative growth, physiology fruit yield and quality in eggplants' Bulg. *J. Plant Physiol.*, 27(3): 34-46.
- 21- Kim S K., Sohn E Y. Joo G J. Lee I J. 2009. Influence of jasmonic acid on endogenous gibberellin and abscisic acid in salt-stressed chard plant. *J. Environmental Biology*, 30(3): 333-338.
- 22- Krik J T O., Allen R L. 1956. Dependence of chloroplast pigment synthesis on protein synthesis: effect of actidione. *Biochemical Biophysical Research Communications*, 21: 525-530.
- 23- Leite V M., Rosolem C A. Rodrigues J D. 2003. Gibberellin and cytokinin effects on soybean growth. *Scientia Agricola*. 60(3):537-541.
- 24- Mahshad H., Masoud M A B. Babak D. Pezhman M. 2014. Effects of foliar spraying acetyl-coA on dry weight of leaves, chlorophyll a, and antioxidant enzymes of rosemary (*Rosmarinus officinalis* L.). *Iranian Journal of Plant Physiology*, Vol (4), No (2).
- 25- Matsomoto K T., 2006. Gibberellic acid and benzyl adenine promote early flowering and vegetative growth of Milfonopsis orchid hybrids. *HortScience*. 41(1): 131-135.
- 26- Matta A G., Giai I. 1969. Accumulation of phenol in tomato plant in effected by different forms of *Fusarium oxysporum*. *Phytpathol.* 50: 512-513.
- 27- Morello J R., Romero M P. Ramo T. Motilva M J. 2005. Evaluation of L-phenylalanine ammonia-lyase activity and phenolic profile in olive drupe (*Olea europaea* L.) from fruit setting period to harvesting time. *Plant Science*, 168: 65-72.
- 28- Najafi, M. Ghasemian, E. Fathiazad, F. Garjani, A. R. (2009) Effects of total extract of (*Dracocephalum moldavica* L.) on Hschemia/Reperfusion induced arrhythmias and infarct size in the isolated Rat Heart. *Journal Hranian* 11(4): 229-235.
- 29- Niakan M., Ahmadi A. 2014. Effects of foliar spraying kinetin on growth parameters and photosynthesis of tomato under different levels of drought stress. *Iranian Journal of Plant Physiology*, Vol (4), No (2).
- 30- Nogue S., Baker N R. 2000. Effects of drought on photosynthesis in Mediterranean plants growth under enhanced UV-B radiation. *Journal of Experimental Botany*, 51: 1309-1317 .
- 31- Rezaei H., Ghorbanli M. Pivandi M. Pazoki A R. 2013. Effect of Drought Interactions with Ascorbate on Some Biochemical Parameters and Antioxidant Enzymes Activities in *Dracocephalum moldavica* L. *Middle-East Journal of Scientific Research* 13 (4): 522-531.
- 32- Rezaei H., NiKi E. 2013. Quantitative and gualitative comparison of *Dracocephalom moldavica* L. essence under drought stress and its interaction with gibberellin and ascorbate. *Journal of novel applied Sciences*. 2-2S/974-977.
- 33- Sardoei A S., Shahadadi F. Shahdadneghad M. Imani A F. 2014. The Effect of Benzyladenine and Gibberellic Acid on Reducing Sugars of *Spathiphyllum wallisii* Plant. *International Journal of Farming and Allied Sciences*. 3-3/328-332/ 31.
- 34- Shaddad M A K., Abd El- Samad H M. Mostafa D. 2013. Role of gibberellic acid (GA3) in improving salt stress tolerance of two wheat cultivars. *International Journal of Plant Physiology and Biochemistry*. Vol. 5(4), pp. 50-57.
- 35- Sharafati-Chaleshtori R., Sharafati-Chaleshtori F. Sharafati-Chaleshtori A. Ashrafi K. 2010. Antimicrobial effects and evaluation of total phenols, flavonoids and flavonols contents of

- ethanolic extracts of *Scrophularia striata*. Journal Medical Sci. 32-37.
- 36- Trebst A., 1872. Measurement of the Hill reaction and photoreduction. Methods Enzymol. 24: 146-165.
- 37- Watkinson J I., Hendrieks L. Sioson A A. Vasquez-Robinet C. Verlyn S. Heath L S. Schuler M. Bohnert H J. Bonierbale M. Grene R. 2006. Accessions of *Solanum toberosum* spp. Andigena show differences in photosynthetic recovery after drought stress as reflected in gene expression profiles. Plant Science, 1-14.

Effects of gibberellic acid on Hill reaction, photosynthetic Pigment and phenolic compounds in Moldavian dragonhead (*Dracocephalum moldavica* L.) in different drought stress levels

Abbaspour H. and Rezaei H.

Biology Dept., Faculty of Science, Damghan Branch, Islamic Azad University, Damghan, I.R. of Iran

Abstract

Drought stress stimulates reactive oxygen species production in plant chloroplast and reactive oxygen species cause peroxidation of lipid membrane and destruction of cell membrane. Moldavian dragonhead *Dracocephalum moldavica* L. is one of the aromatic and medicinal plants which use as healing of wound. In this research gibberlin use in order to control oxidative stress to tolerate water shortage and fluctuation in leaf pigments and total phenol were investigated. Therefore, an experiment was conducted in factorial design based on completely randomized design with four replications. Irrigation factor were in three level Fc (without stress), 2/3FC (moderate stress) and 1/3FC (severe stress) and gibberellic acid were in two level including and 100 mM. The results of experiment showed that by increasing of stress severity chlorophyll a, b and a+b content decreased. However, flavonoid, anthocynin and phenol content increased. Because of dehydration effect, β -carotene and xanthophyll content increased only in moderate stess. Gibberellic acid increased cholorophyll content, Hill reaction rate and phenol content . But There was no considerable change in Flavonoid and anthocyanin amount. According to result, exogenous gibberellic acid increased drought response of Moldavian dragonhead with various mechanism and trigger to increase phtosynthesis rate in plant.

Key words: Moldavian dragonhead (*Dracocephalum moldavica* L.), drought stress, Gibberlic acid and Flavonoid.